

•  
•  
•  
•  
•

# Mapas Auto-organizáveis - Extensões (*Self-Organizing Maps* - SOM)

Aluizio Fausto Ribeiro Araújo  
Universidade Federal de Pernambuco  
Centro de Informática - CIn  
Departamento de Sistemas da Computação  
aluizioa@cin.ufpe.br



• • • • •

# Conteúdo

- Introdução
- *Grid* Diferente do SOM
- Ponderação no cálculo de distâncias
- Modelo estocástico
- *Kernel* SOM
- Modelo hierárquico
- Estrutura variante no tempo

# Introdução

- Objetivos:
  - Apresentar diferenças e contribuições de alguns mapas derivados do SOM (*Self-Organizing Map*);
  - Atuar nas limitações encontradas na literatura;

# Introdução

- Algumas limitações do SOM:
  - A pré-definição da estrutura limita o mapeamento resultante,
    - Número fixo de nodos;
    - Conexões entre nodos pré-definidas;
  - Tipos limitados de topologia dos mapas,
    - Poucos tipos de vizinhanças;
  - Emprego de distância euclideana,
    - Mesma importância das dimensões;
    - Distâncias que podem perder capacidade de discriminação;
  - Processamento restrito a uma camada,
    - Dificuldades em perceber diferenças sutis intracategóricas;

# Grid Diferente

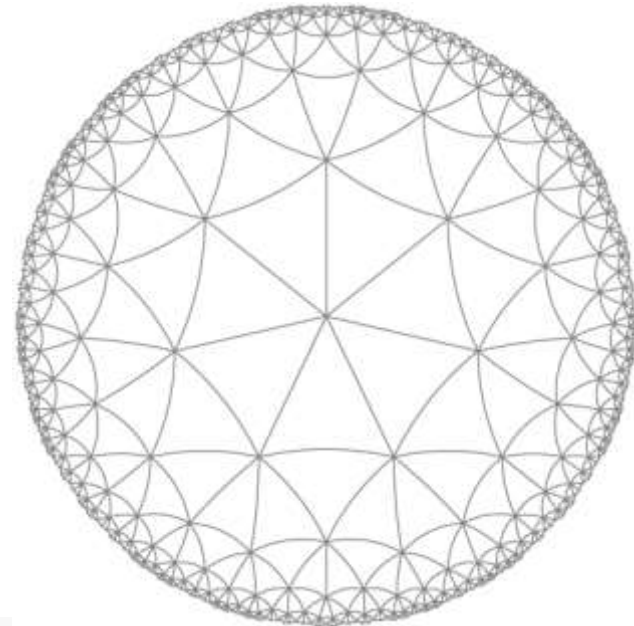
## *Hyperbolic Self-Organizing Maps – HSOM (2001)*

- Contribuição:
  - O SOM possui uma vizinhança bastante restrita ajustada ao redor de um ponto sobre uma superfície euclidiana 2D;
  - Espaços hiperbólicos oferecem uma geometria cujo tamanho da vizinhança ao redor de um ponto cresce exponencialmente,
  - Permite novas configurações de vizinhança;

# Grid Diferente

## *Hyperbolic Self-Organizing Maps (2001)*

- Contribuição:
  - Plano hiperbólico:
  - Com triângulos:
    - Equiláteros;
    - Congruentes.



# Grid Diferente

## *Hyperbolic Self-Organizing Maps (2001)*

- Contribuição:

- Competição:

$$h_{rs}(n) = \exp(-d^2(r,s)/2\sigma^2)$$

$r \in N(s,t)$  , vizinhança do vencedor

$$d = 2 \operatorname{arctanh} \left( \left| \frac{z_r - z_s}{1 - \bar{z}_s \cdot z_r} \right| \right)$$

onde para um *lattice* hiperbólico, cada nodo guarda um número complexo que identifica sua posição no modelo de Poincaré.

# Grid Diferente

## *Hyperbolic Self-Organizing Maps (2001)*

- Aplicação: categorização de textos;
  - Criação de relação semântica entre textos armazenados em uma base muito grande;
  - Elaboração de visualização de baixa dimensão;
  - Agrupamento de textos por categorias.



# Ponderação no Cálculo de Distâncias

## *Parameterized Self-organizing Maps – PSOM (1998)*

- Contribuição:
  - Muitos modelos de redes neurais necessitam de centenas ou milhares de instâncias e iterações para treinamento;
  - Há casos nos quais a criação de uma base de dados requer muito esforço;
  - PSOM possui ampla capacidade de generalização em base de dados pequenas, além de ser rápido para treinar.

# Ponderação no Cálculo de Distâncias

## *Parameterized Self-organizing Maps – PSOM (1998)*

- Competição:
  - Pode seleccionar subespaços dos dados de entrada;
  - **p** selecciona diferente subespaços;
  - Pondera os componentes das distâncias;

$$dist(x, x') = \sum_{k=1}^d p_k (x_k - x'_k)^2$$

# Ponderação no Cálculo de Distâncias

*Parameterized Self-organizing Maps* – PSOM (1998)

- Aplicação:
  - Controle de robôs articulados, por exemplo, mão robótica.

# Modelo Estocástico

## *Bayesian Self-Organising Map* – BSOM (2001)

- Teorema de Bayes:
  - Modelagem por inferência estatística;
  - $\Pr(A)$  e  $\Pr(B)$  são as probabilidades a priori de  $A$  e  $B$ ;
  - $\Pr(B/A)$  e  $\Pr(A/B)$  são as probabilidades a posteriori de  $B$  condicional a  $A$  e de  $A$  condicional a  $B$  respectivamente;

$$\Pr(A|B) = \frac{\Pr(B|A) \Pr(A)}{\Pr(B)}$$

# Modelo Estocástico

## *Bayesian Self-Organising Map* – BSOM (2001)

- Contribuição:
  - Em reconhecimento de padrões é importante que haja uma estimativa precisa da distribuição dos dados;
  - Mistura de distribuições oferece uma abordagem mais flexível para estimar a densidade dos dados;
  - BSOM possibilita a mistura de gaussianas;

# Modelo Estocástico

## *Bayesian Self-Organising Map* – BSOM (2001)

- Competição:
  - A métrica para determinar o vencedor é substituída por uma regra baseada na probabilidade a posteriori do teorema de Bayes,
  - O vencedor tem maior probabilidade a posteriori;
- Adaptação:
  - É proporcional à probabilidade a posteriori estimada do nodo vencedor e de seus vizinhos;

# Modelo Estocástico

*Bayesian Self-Organising Map* – BSOM (2001)

- Aplicações:
  - Aprendizagem de mistura de gaussianas;
  - Reconhecimento de padrões;
  - Agrupamento.

# Kernel SOM

- Uma função *kernel* é definida como  $\kappa: X \times X \in \mathbb{R}$ , onde  $X$  é o espaço de entrada;
- Mais especificamente, a função de *kernel* é definida por um produto interno:  $\kappa(\mathbf{x}, \mathbf{y}) = \phi(\mathbf{x}) \cdot \phi(\mathbf{y})$ , onde  $\phi(\cdot)$  é uma função mapeadora usualmente não-linear e desconhecida,
  - $\phi : X \rightarrow F$ , onde este é um espaço de características de produto interno de alta dimensão;
- Todas as operações são definidas em termos da função de kernel ao invés da função de mapeamento



# Kernel SOM

- Função objetivo: entropia conjunta das saídas da função de *kernel*:

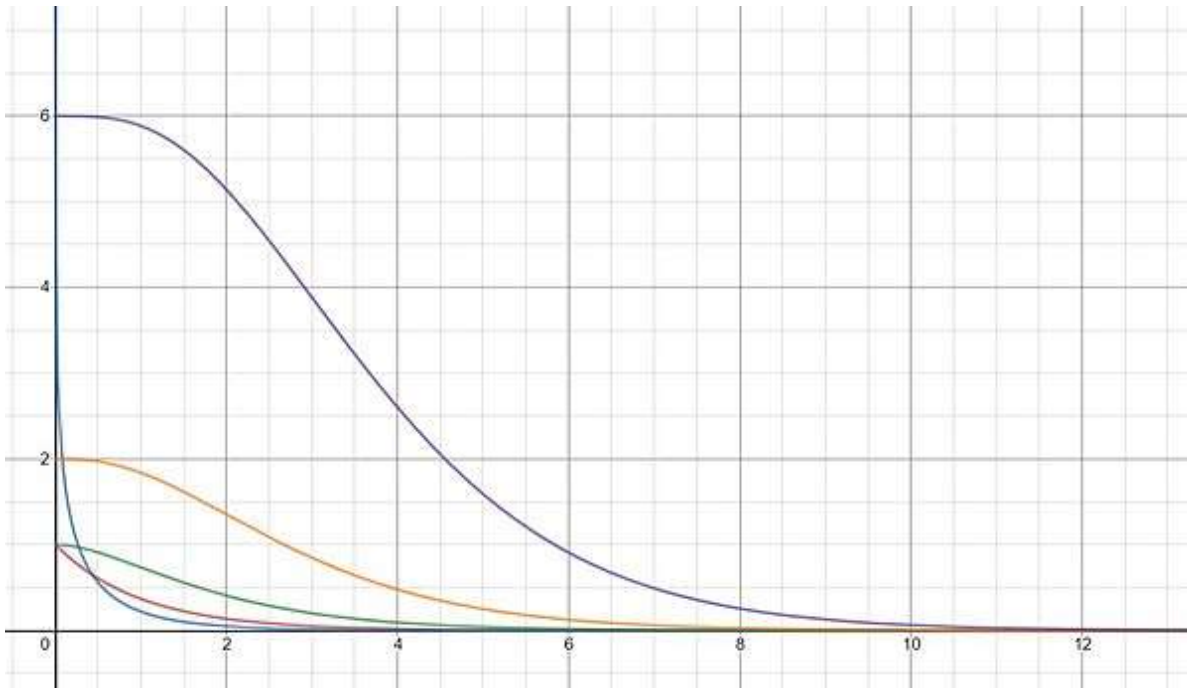
$$H(Y_i) = - \int_{-\infty}^{\infty} p_{Y_i}(y_i) \log p_{Y_i}(y_i) dy_i; \text{ onde } y_i = \kappa(\mathbf{x}, \mathbf{w}_i, \sigma_i)$$

- Função de *kernel* (distribuição gamma incompleta):

$$k(\mathbf{x}, \mathbf{w}_i, \sigma_i) = \frac{1}{\Gamma(\frac{m}{2})} \Gamma\left(\frac{m}{2}, \frac{\|\mathbf{x} - \mathbf{w}_i\|^2}{2\sigma_i^2}\right), i = 1, 2, \dots, l$$

# Kernel SOM

- Função de *kernel* (distribuição gamma incompleta):



# Kernel SOM

- Determinação do vencedor:

$$i(\mathbf{x}) = \arg \min_j y_i = \arg \min_j k(\mathbf{x}, \mathbf{w}_i, \sigma_i)$$

- Função de vizinhança:

$$h_{j,i(\mathbf{x})} = \exp\left(-\frac{\|\mathbf{x} - \mathbf{w}_j\|^2}{2\sigma^2}\right), \quad j \in A$$

# Kernel SOM

- Ajustes do peso e da dispersão:

$$\mathbf{w}_j(n+1) = \begin{cases} \mathbf{w}_j(n) + \frac{\eta_w h_{j,i(\mathbf{x})}}{\sigma_j^2} (\mathbf{x}(n) - \mathbf{w}_j(n)), & j \in A \\ \mathbf{w}_j(n), & \text{de outra forma} \end{cases}$$

$$\sigma_j(n+1) = \begin{cases} \sigma_j(n) + \frac{\eta_\sigma h_{j,i(\mathbf{x})}}{\sigma_j(n)} \left[ \frac{\|\mathbf{x}(n) - \mathbf{w}_j(n)\|^2}{m\sigma_j^2(n)} - 1 \right], & j \in A \\ \sigma_j(n), & \text{de outra forma} \end{cases}$$

# *Kernel SOM*

Algoritmo de aprendizagem KSOM:

- Inicialize aleatoriamente os pesos  $\mathbf{w}_j(0)$  com valores pequenos;
- Enquanto  $H(Y_i)$  não convergir:
- Apresente a entrada  $\mathbf{x}$ ;
- Encontre o vencedor  $i(\mathbf{x})$ ;
- Atualize os pesos e as dispersões;
- Fim-do-enquanto;

# Modelo Hierárquico

## *Growing Grid* (1995)

- Contribuição:
  - Varia a tamanho da rede durante o treinamento;
- Arquitetura:
  - Semelhante ao SOM, mas com adição de linha ou coluna na grade;
- Aplicações:
  - Geração de mapas topológicos, visualização de dados.

# Modelo Hierárquico

*Growing Hierarchical Self-Organizing Map* –  
GHSOM (2000)

- Contribuição:
  - Um SOM hierárquico com topologia dinâmica;
  - O tamanho das sub-redes e a profundidade da hierarquia são determinados durante o processo de treinamento não-supervisionado.

# Modelo Hierárquico

## *Growing Hierarchical Self-Organizing Map (2000)*

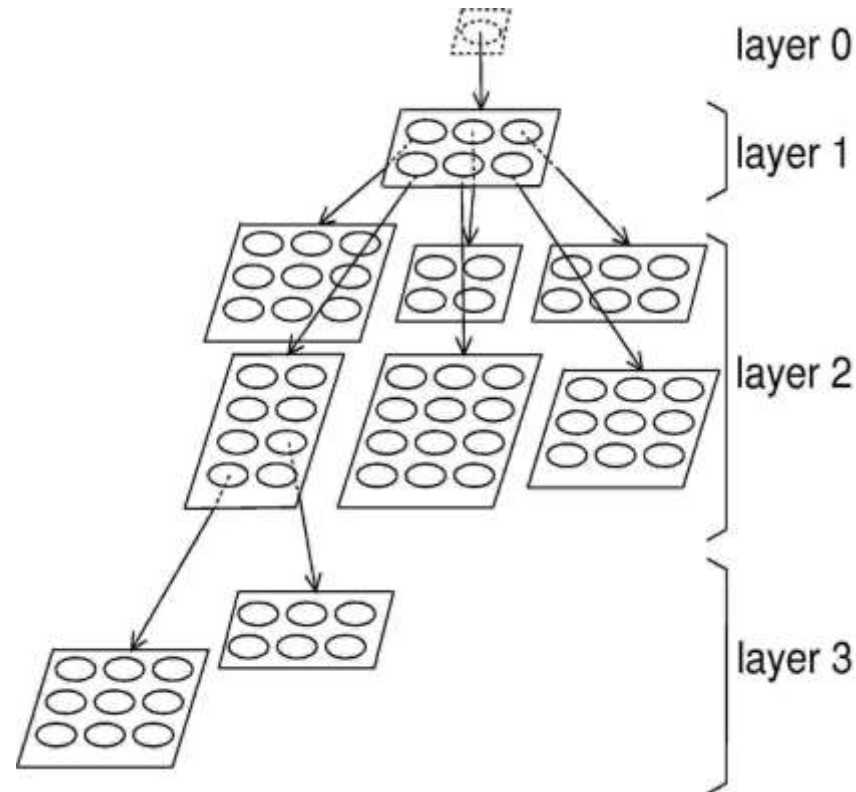
- Estrutura:
  - Múltiplas camadas organizadas de forma hierárquica;
  - Cada camada possui uma quantidade independente de redes SOMs;
  - A primeira camada contém uma rede SOM apenas;
  - A rede SOM empregada é uma versão cujo crescimento acontece durante o processo de treinamento.



# Modelo Hierárquico

## *Growing Hierarchical Self-Organizing Map (2000)*

- Arquitetura:



# Modelo Hierárquico

*Growing Hierarchical Self-organizing Map (2000)*

- Aplicação:
  - Recuperação da informação;
  - Organização de documentos;

# Estrutura Variante no Tempo

## *Growing Neural Gas* (GNG) (Fritzke, 1995)

- *Growing Neural Gas* (GNG) pode ser vista como:
  - Uma variante do *Growing Cell Structures* (GCS) sem preservação de topologia, ou
  - Uma variante incremental do *Topology Representing Networks* (TRN);
- Proposta:
  - Geração de grafo que represente a topologia da variedade (*manifold*) do espaço de entrada (aprendizagem de topologia);
  - A dimensionalidade do grafo depende da distribuição dos dados do espaço de entrada;

# Estrutura Variante no Tempo

## *Growing Neural Gas* (GNG)

- Regra de Aprendizagem:
  - As idades das conexões são usadas para remove-las quando se tornam inválidas durante o processo de aprendizagem (como na TRN);
  - Uma variável de erro associada a cada nodo é empregada para determinar onde inserir novos nodos (como na GCS);

# Estrutura Variante no Tempo

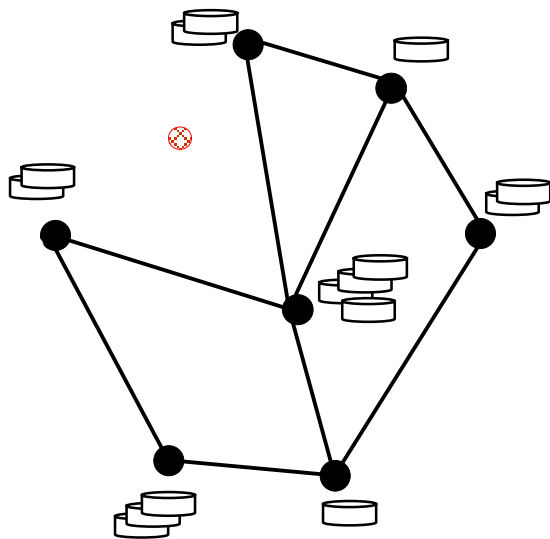
Learning Rule:

1. Start the map with two units  $s_a$  and  $s_b$  at random positions in  $\mathbf{R}^n$

# Estrutura Variante no Tempo

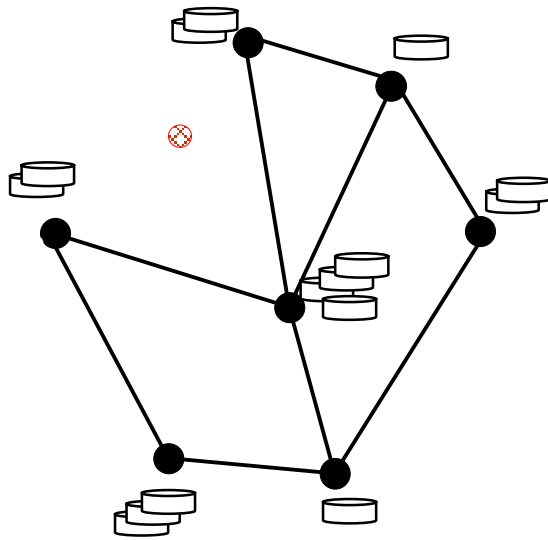
Learning Rule:

2. Generate an input signal  $\xi$  according to  $P(\xi)$



# Estrutura Variante no Tempo

Learning Rule:



2. Generate an input signal  $\xi$  according to  $P(\xi)$

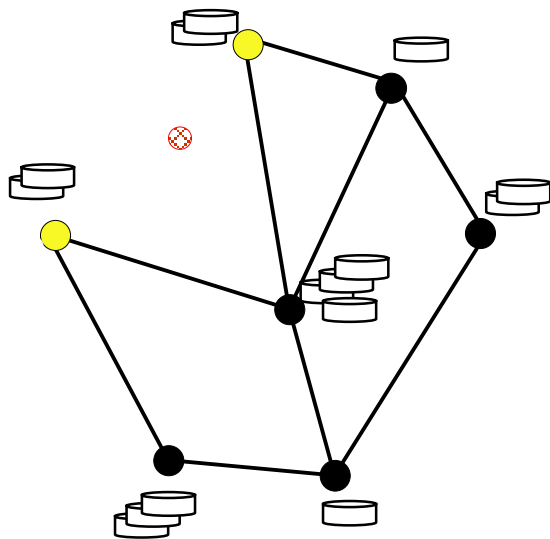
3. Determine the units  $s_1$  e  $s_2$  nearest to  $\xi$

$$\| \mathbf{w}_{s_1} - \xi \| \leq \| \mathbf{w}_{s_i} - \xi \| \quad \forall s_i \in A \quad \text{and}$$

$$\| \mathbf{w}_{s_2} - \xi \| \leq \| \mathbf{w}_{s_i} - \xi \| \quad \forall s_i \in A - \{s_1\}$$

# Estrutura Variante no Tempo

Learning Rule:



2. Generate an input signal  $\xi$  according to  $P(\xi)$

3. Determine the units  $s_1$  e  $s_2$  nearest to  $\xi$

$$\| \mathbf{w}_{s_1} - \xi \| \leq \| \mathbf{w}_{s_i} - \xi \| \quad \forall s_i \in A \quad \text{and}$$

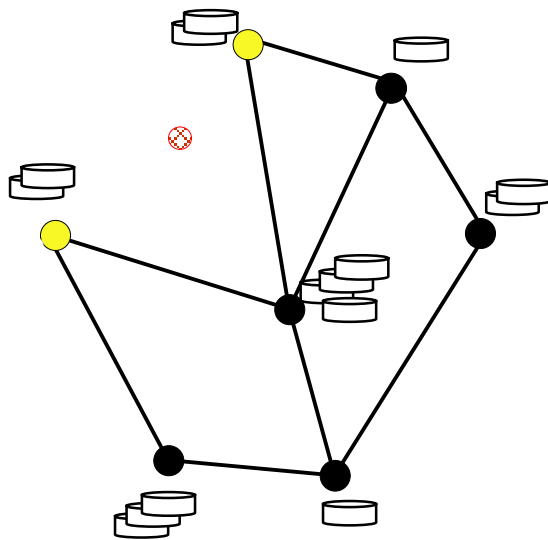
$$\| \mathbf{w}_{s_2} - \xi \| \leq \| \mathbf{w}_{s_i} - \xi \| \quad \forall s_i \in A - \{s_1\}$$

*Competition*



# Estrutura Variante no Tempo

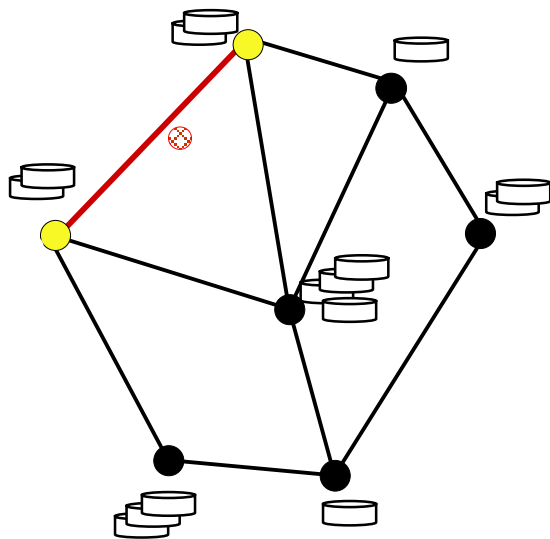
## Learning Rule:



2. Generate an input signal  $\xi$  according to  $P(\xi)$
3. Determine the units  $s_1$  e  $s_2$  nearest to  $\xi$   
$$\| \mathbf{w}_{s_1} - \xi \| \leq \| \mathbf{w}_{s_i} - \xi \| \quad \forall s_i \in A \quad \text{and}$$
$$\| \mathbf{w}_{s_2} - \xi \| \leq \| \mathbf{w}_{s_i} - \xi \| \quad \forall s_i \in A - \{s_1\}$$
4. If it does not already exist, insert a connection between  $s_1$  and  $s_2$ . In any case, set the age of the connection between  $s_1$  and  $s_2$  to zero

# Estrutura Variante no Tempo

## Learning Rule:

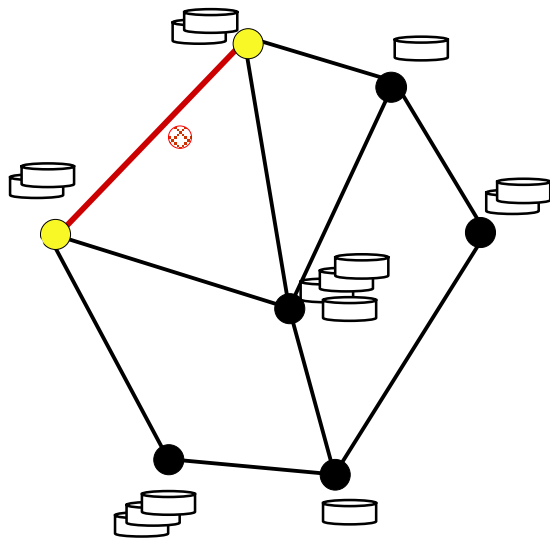


2. Generate an input signal  $\xi$  according to  $P(\xi)$
3. Determine the units  $s_1$  e  $s_2$  nearest to  $\xi$   
$$\| \mathbf{w}_{s_1} - \xi \| \leq \| \mathbf{w}_{s_i} - \xi \| \quad \forall s_i \in A \quad \text{and}$$
$$\| \mathbf{w}_{s_2} - \xi \| \leq \| \mathbf{w}_{s_i} - \xi \| \quad \forall s_i \in A - \{s_1\}$$
4. If it does not already exist, insert a connection between  $s_1$  and  $s_2$ . In any case, set the age of the connection between  $s_1$  and  $s_2$  to zero

*Topology Learning*

# Estrutura Variante no Tempo

## Learning Rule:



2. Generate an input signal  $\xi$  according to  $P(\xi)$
3. Determine the units  $s_1$  e  $s_2$  nearest to  $\xi$ 

$$\| \mathbf{w}_{s_1} - \xi \| \leq \| \mathbf{w}_{s_i} - \xi \| \quad \forall s_i \in A \quad \text{and}$$

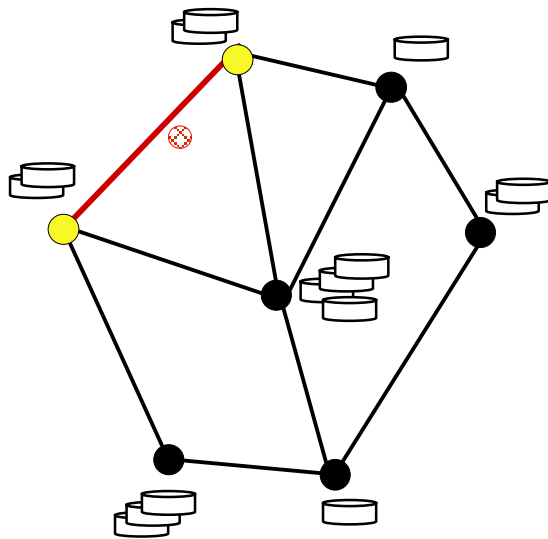
$$\| \mathbf{w}_{s_2} - \xi \| \leq \| \mathbf{w}_{s_i} - \xi \| \quad \forall s_i \in A - \{s_1\}$$
4. If it does not already exist, insert a connection between  $s_1$  and  $s_2$ . In any case, set the age of the connection between  $s_1$  and  $s_2$  to zero
5. Move  $s_1$  and its direct topological neighbors towards  $\xi$ .

$$\Delta \mathbf{w}_{s_1} = \varepsilon_b (\xi - \mathbf{w}_{s_1})$$

$$\Delta \mathbf{w}_{s_i} = \varepsilon_n (\xi - \mathbf{w}_{s_i}) \quad \forall s_i \in N_{s_1},$$

# Estrutura Variante no Tempo

## Learning Rule:



2. Generate an input signal  $\xi$  according to  $P(\xi)$
3. Determine the units  $s_1$  e  $s_2$  nearest to  $\xi$ 

$$\| \mathbf{w}_{s_1} - \xi \| \leq \| \mathbf{w}_{s_i} - \xi \| \quad \forall s_i \in A \quad \text{and}$$

$$\| \mathbf{w}_{s_2} - \xi \| \leq \| \mathbf{w}_{s_i} - \xi \| \quad \forall s_i \in A - \{s_1\}$$
4. If it does not already exist, insert a connection between  $s_1$  and  $s_2$ . In any case, set the age of the connection between  $s_1$  and  $s_2$  to zero
5. Move  $s_1$  and its direct topological neighbors towards  $\xi$ .

$$\Delta \mathbf{w}_{s_1} = \varepsilon_b (\xi - \mathbf{w}_{s_1})$$

$$\Delta \mathbf{w}_{s_i} = \varepsilon_n (\xi - \mathbf{w}_{s_i}) \quad \forall s_i \in N_{s_1},$$

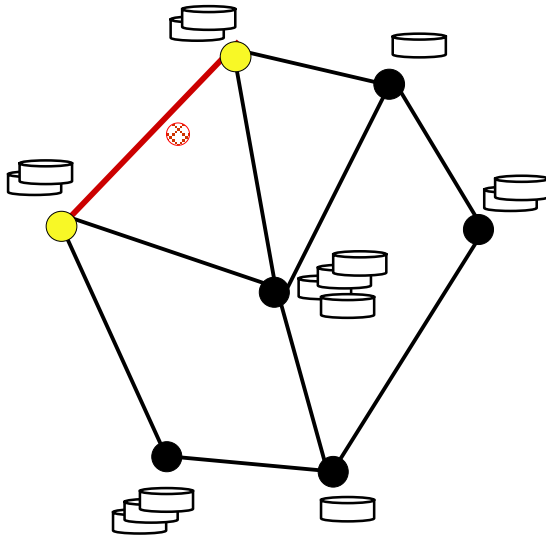
*Competition and Collaboration*

# Estrutura Variante no Tempo

Learning Rule:

6. Add  $\Delta E_{s_1}$  to the  $s_l$  local error variable

$$\Delta E_{s_1} = \| \mathbf{w}_{s_1} - \xi \|^2$$

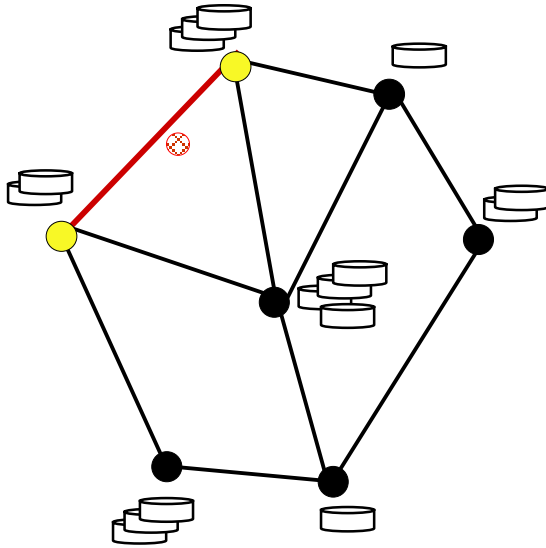


# Estrutura Variante no Tempo

Learning Rule:

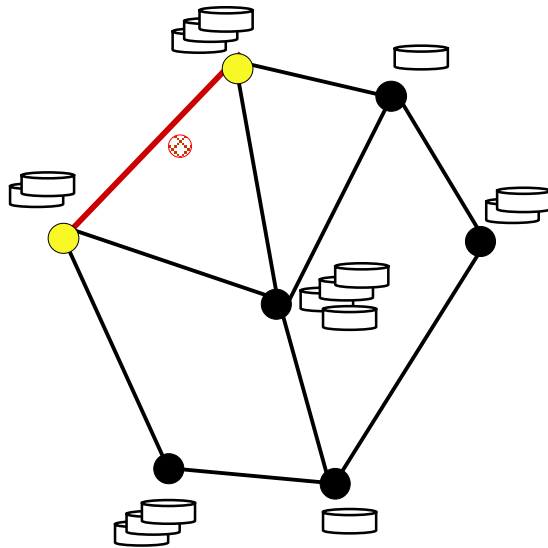
6. Add  $\Delta E_{s_1}$  to the  $s_l$  local error variable

$$\Delta E_{s_1} = \| \mathbf{w}_{s_1} - \xi \|^2$$



# Estrutura Variante no Tempo

Learning Rule:



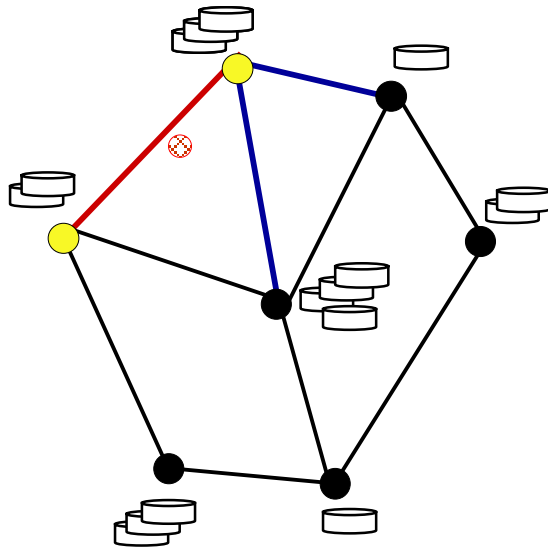
6. Add  $\Delta E_{s_1}$  to the  $s_I$  local error variable

$$\Delta E_{s_1} = \| \mathbf{w}_{s_1} - \xi \|^2$$

7. Increase by one the age of all edges emanating from  $s_I$ .

# Estrutura Variante no Tempo

Learning Rule:



6. Add  $\Delta E_{s_1}$  to the  $s_l$  local error variable

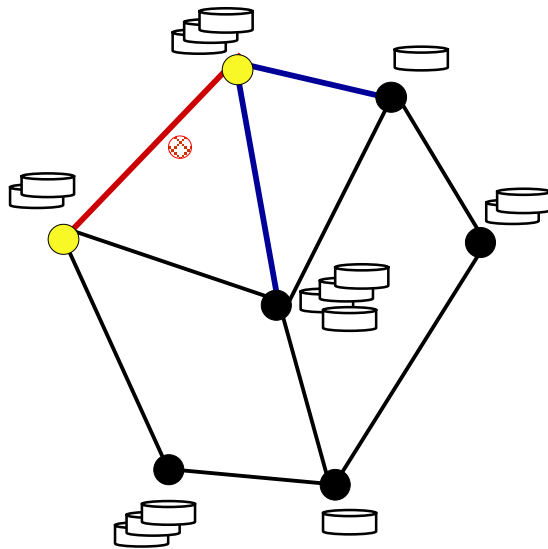
$$\Delta E_{s_1} = \| \mathbf{w}_{s_1} - \xi \|^2$$

7. Increase by one the age of all edges emanating from  $s_l$ .



# Estrutura Variante no Tempo

## Learning Rule:



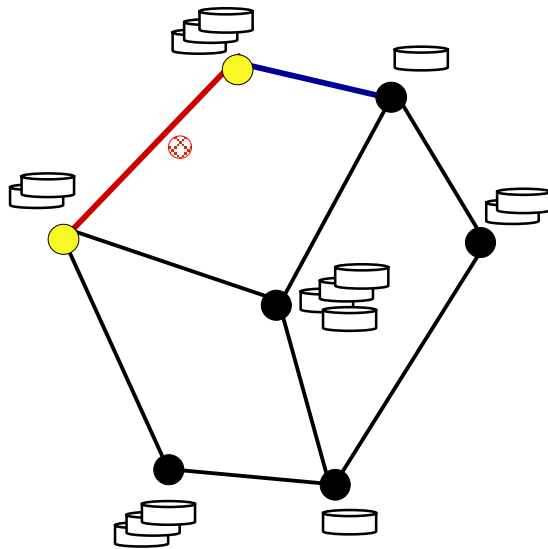
6. Add  $\Delta E_{s_1}$  to the  $s_1$  local error variable

$$\Delta E_{s_1} = \| \mathbf{w}_{s_1} - \xi \|^2$$

7. Increase by one the age of all edges emanating from  $s_1$ .
8. Remove the connections with an age larger than a threshold ( $a_{max}$ )

# Estrutura Variante no Tempo

## Learning Rule:



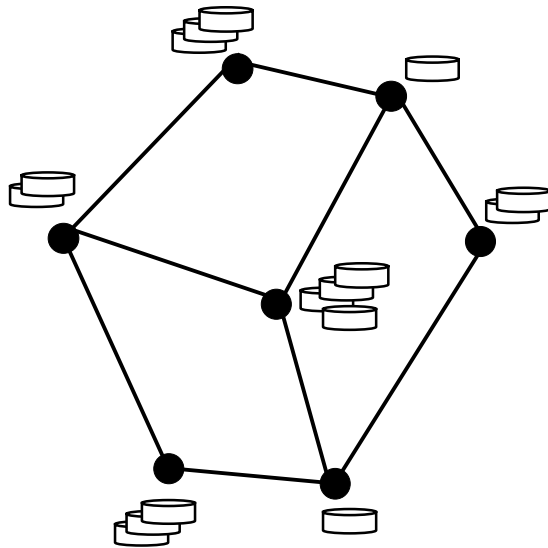
6. Add  $\Delta E_{s_1}$  to the  $s_l$  local error variable

$$\Delta E_{s_1} = \| \mathbf{w}_{s_1} - \xi \|^2$$

7. Increase by one the age of all edges emanating from  $s_l$ .
8. Remove the connections with an age larger than a threshold ( $a_{max}$ )
  - If this results in units having no emanating edges, remove them as well.

# Estrutura Variante no Tempo

## Learning Rule:

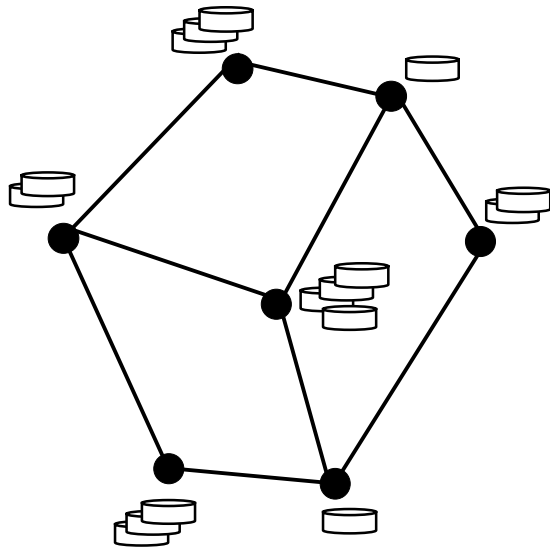


9. If the number of input signals generated so far is an integer multiple of a parameter  $\lambda$ , insert a new unit as follows.

*Growing Step*

# Estrutura Variante no Tempo

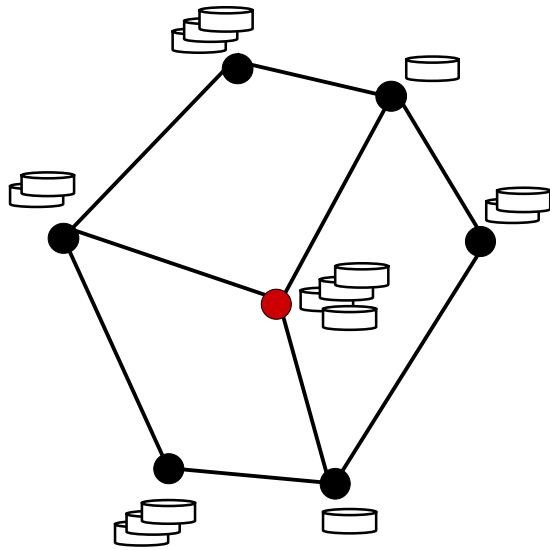
## Learning Rule:



9. If the number of input signals generated so far is an integer multiple of a parameter  $\lambda$ , insert a new unit as follows.
  - Determine the node  $s_q$  with the maximum accumulated error.

# Estrutura Variante no Tempo

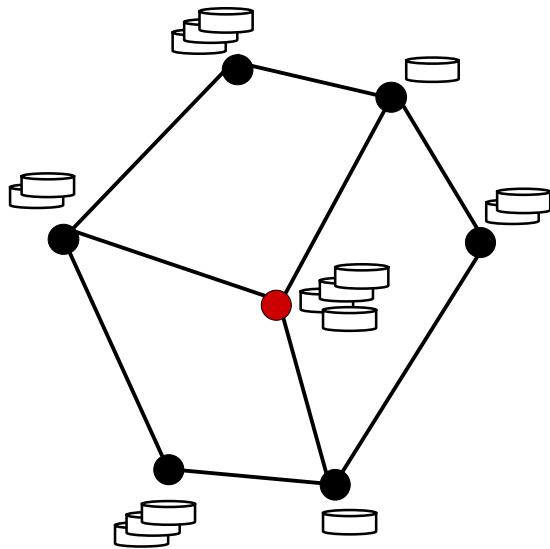
## Learning Rule:



9. If the number of input signals generated so far is an integer multiple of a parameter  $\lambda$ , insert a new unit as follows.
  - Determine the node  $s_q$  with the maximum accumulated error.

# Estrutura Variante no Tempo

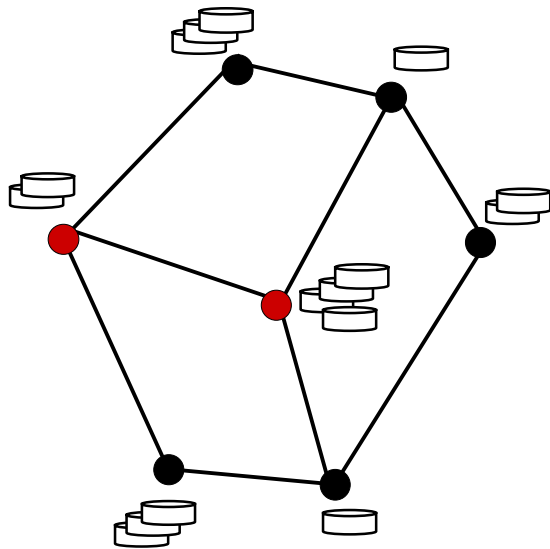
## Learning Rule:



9. If the number of input signals generated so far is an integer multiple of a parameter  $\lambda$ , insert a new unit as follows.
  - Determine the node  $s_q$  with the maximum accumulated error.
  - Determine the node  $s_f$ , topological neighbor of  $s_q$ , with the largest error variable.

# Estrutura Variante no Tempo

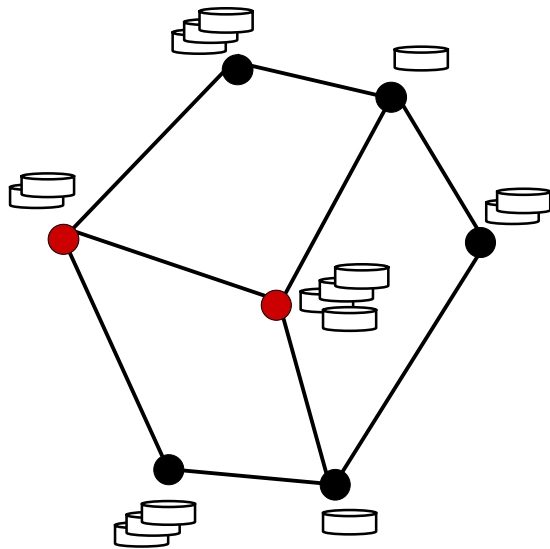
## Learning Rule:



9. If the number of input signals generated so far is an integer multiple of a parameter  $\lambda$ , insert a new unit as follows.
  - Determine the node  $s_q$  with the maximum accumulated error.
  - Determine the node  $s_f$ , topological neighbor of  $s_q$ , with the largest error variable.

# Estrutura Variante no Tempo

## Learning Rule:

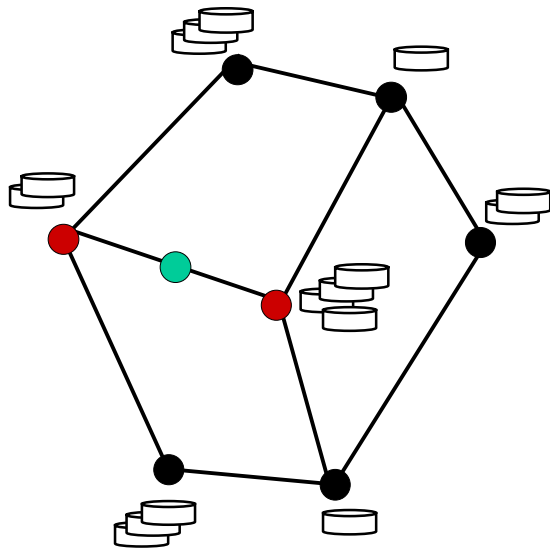


9. If the number of input signals generated so far is an integer multiple of a parameter  $\lambda$ , insert a new unit as follows.
  - Determine the node  $s_q$  with the maximum accumulated error.
  - Determine the node  $s_f$ , topological neighbor of  $s_q$ , with the largest error variable.
  - Insert a new unit ( $s_r$ ) between  $s_q$  and  $s_f$ .



# Estrutura Variante no Tempo

## Learning Rule:

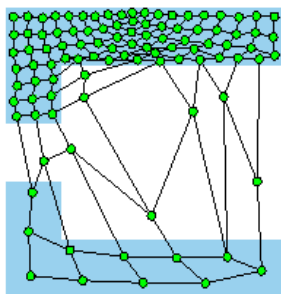


9. If the number of input signals generated so far is an integer multiple of a parameter  $\lambda$ , insert a new unit as follows.
  - Determine the node  $s_q$  with the maximum accumulated error.
  - Determine the node  $s_f$  topological neighbor of  $s_q$  with the largest error variable.
  - Insert a new node ( $s_r$ ) between  $s_q$  and  $s_f$
  - Insert edges connecting the new node  $s_r$  with nodes  $s_q$  and  $s_f$ , and remove the original edge between  $s_q$  and  $s_f$ .

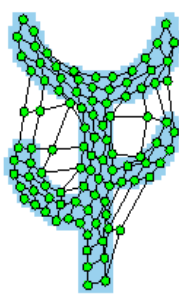
# Comparação de Resultados

Mapeamentos criados pelo SOM e suas variantes:

**SOM**

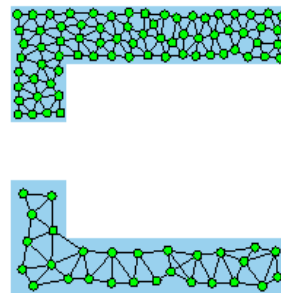


a.)

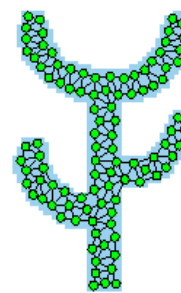


b.)

**TRN**

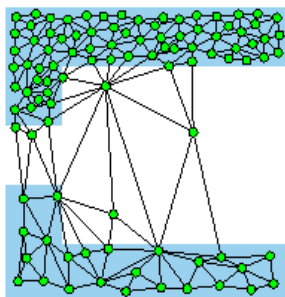


a.)



b.)

**GCS**

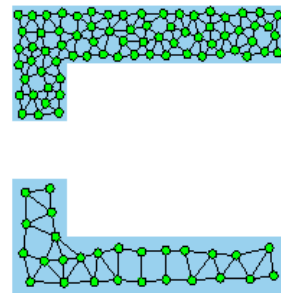


a.)

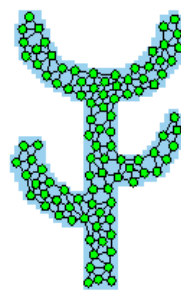


b.)

**GNG**



a.)



b.)

# Referências

- Dittenbach, M., Merkl, D., & Rauber, A. (2000). The growing hierarchical self-organizing map. *Proceedings of the IEEE-INNS-ENNS International Joint Conference on Neural Networks*, 6, 15-19.
- Fritzke, B. (1995a). A growing neural gas network learns topologies. *Advances in Neural Information Processing Systems*, 7: 625-632.
- Fritzke, B. (1996). Unsupervised ontogenetic networks. *Handbook of Neural Computation*, IOP Publishing and Oxford University Press.
- López-Rubio, E., Muñoz-Pérez, J., & Gómez-Ruiz, J. A. (2004). A principal components analysis self-organizing map. *Neural networks*, 17(2), 261-70.
- Ontrup, J., & Ritter, H. (2001). Hyperbolic Self-Organizing Maps for Semantic Navigation. *Proceedings of the 14th International Conference on Neural Information Processing Systems*, 1417–1424.

# Referências

Villa, N., & Rossi, F. (2007). A comparison between dissimilarity SOM and kernel SOM for clustering the vertices of a graph. *Proceedings of the International Workshop on Self-Organizing Maps*.

Walter, J. A. (1998). PSOM Network : Learning with few examples. *PSOM network: learning with few examples. Proceedings. 1998 IEEE International Conference on Robotics and Automation*, 1-6.

Yin, H., & Allinson, N. M. (2001). Bayesian self-organising map for Gaussian mixtures. *IEE Proceedings-Vision, Image and Signal Processing*, 148(4), 234-240.